

**ЭКСПЕРИМЕНТАЛЬНОЕ ИССЛЕДОВАНИЕ ТУРБУЛЕНТНОГО  
ПОГРАНИЧНОГО СЛОЯ НА ГЛАДКОЙ ПЛАСТИНЕ  
ПРИ СТУПЕНЧАТОМ ПОДВОДЕ ТЕПЛА**

***В. П. Лебедев***

*(Новосибирск)*

Приводятся результаты экспериментального исследования теплообмена при ступенчатом подводе тепла на плоской стенке. Полученные экспериментальные профили температур и данные по теплообмену подтверждают ранее высказанную гипотезу о том, что в этом случае справедлив обычный закон теплообмена, если расчет вести по разности равновесной и действительной температур стенки.

Исследования проводились на экспериментальной установке, которая представляется собой дозвуковую аэродинамическую трубу с рабочим каналом прямоугольного сечения размером  $110 \times 110 \times 1300 \text{ мм}^3$ . Воздух в рабочий канал поступал через профилированное сопло. Рабочий канал имеет горизонтальный участок теплообмена, состоящий из девяти латунных пластин. Размер каждой пластины  $120 \times 95 \text{ мм}^2$ . Для предотвращения продольных перетечек тепла на пластинах имеются поперечные пазы. По длине участка (по оси) на поверхности пластин заделаны 26 никром-константанных термопар, выполненных из проволоки диаметром 0.2 мм. В некоторых сечениях по ширине пластины закреплялись три термопары. Под каждой пластиной вмонтирован нагревательный элемент. Мощность нагревательных элементов регулируется, что дает возможность произвольно изменять тепловые потоки на стенке. Участок теплообмена снизу и сбоку теплоизолирован. Зазоры между пластиной и боковыми стенками рабочего канала ( $\sim 8 \text{ мм}$ ) заполнены асбестом. Пластины с нагревательными элементами располагаются на асбосцементных плитах и изолируются снизу слоем пенопласта толщиной 140 мм.

Сначала были проведены тарировочные опыты с целью исследования динамических характеристик течения газа в изотермических условиях. Опыты проводились при обтекании пластины воздухом со скоростями  $W_0 = 20-120 \text{ м/сек}$  (при этом число Рейнольдса  $R_x = 4 \cdot 10^5 - 5 \cdot 10^6$ ). Для измерения скорости использовалась трубка полного напора и датчик статического давления. Трубка полного напора имеет прямоугольное сечение высотой 0.5 мм и шириной 1.5 мм. Толщина стенки трубы 0.1 мм. Давление фиксировалось чашечным микроманометром типа ММН, а при больших скоростях течения — U-образным водяным манометром. Измерения показали хорошую равномерность полей скоростей на входе в рабочий канал (неравномерность скоростей не превышала 3%). Изменение скорости по оси канала составило  $\sim 2\%$ . В процессе динамического исследования были также замерены профили скоростей в пограничном слое. По измеренным профилям скоростей методом Клаузера [1,2] были определены значения локального коэффициента трения  $c_f$ . Полученные экспериментальные результаты с точностью 5% согласуются с расчетным значением локального коэффициента трения, определенного по формуле [3]

$$c_f = \frac{0.0256}{R^{*0.25}} \quad (1)$$

где  $R^{**}$  — число Рейнольдса, построенное по толщине потери импульса  $\delta^{**}$ . Это говорит о том, что на пластине имел место развившийся турбулентный пограничный слой.

Далее были проведены опыты по определению тепловых потерь, которые составили  $\sim 15\%$  общего количества подведенного на стенку тепла.

Тарировочные тепловые опыты заключались в определении коэффициента теплоотдачи на гладкой пластине. Опыты были проведены в квазизотермических условиях с постоянной температурой стени и с постоянным тепловым потоком на стенке. Температура стени в опытах менялась в диапазоне  $t_w = 70-150^\circ \text{C}$ , а тепловые потоки составляли  $q_w = 3000-10000 \text{ ккал}/\text{м}^2\text{час}$ . Температура основного потока была  $t_0 = 20-60^\circ \text{C}$ . Скорости течения воздуха изменялись в пределах  $W_0 = 10-125 \text{ м/сек}$  ( $R_x = 2.5 \cdot 10^5 - 6 \cdot 10^6$ ). По измеренным в опытах величинам (мощности нагревательных элементов, температуре стени и невозмущенного потока, скорости невозмущенного потока) находилось число Стантона  $S$ . При этом вводилась поправка на неизотермичность (4-9%), а также учитывались потери тепла за счет излучения, которые не превышали 4% величины конвективного теплового потока. Разброс экспериментальных точек составил  $\pm 10\%$ . Средняя кривая, удовлетворяющая экспериментальным точкам, описывается формулой

$$S_0 = 0.0184 R_T^{**-0.25} \quad (P = 0.71) \quad (2)$$

где  $R_T^{**}$  — число Рейнольдса, построенное по толщине потери энергии. Это соотношение соответствует формуле, полученной в результате обобщения всех опытных данных по конвективному теплообмену на пластине и в трубе, приведенной в работе [3], а также формуле Себана, используемой в работе [5].

Затем были проведены опыты со ступенчатым подводом тепла. Схема подвода тепла показана на фиг. 1. Все опыты проводились с двумя тепловыми ступенями. Длина ступени 360 и 240 м.м. На фиг. 1 кривая 1 — расчет по формуле (2), экспериментальные точки 2\* (0.3, 20.4), 3 (0.5, 76.9), 4\* (1.0, 121.5), 5\* (3.1, 9.9), 6 (6.5, 14.9), 7 (6.7, 15), 8 (6.7, 15.4), 9 (3.5, 35.0), 10 (3.5, 38.5), 11 (2.8, 78.8) соответствуют отношениям удельных тепловых потоков  $q_{w_1}/q_{w_2}$  (первые значения в скобках) и скоростям течения воздуха  $W_0$  м/сек (вторые значения в скобках). Опыты, отмеченные звездочкой, имели между ступенями адиабатический участок длиной 0.24 м. Опыты осуществлялись в два этапа. Сначала подводилось тепло только на первую ступень  $q_{w_1}$ . При этом вторая ступень, где  $q_{w_2} = 0$ , находилась под воздействием тепловой завесы со стороны первой. Измерялась температура на адиабатической стенке  $T_w^*$ , или так называемая «равновесная» температура. Замеренная равновесная температура соответствовала расчетным значениям, полученным по формуле [6]

$$\frac{T_w^* - T_0}{T_w' - T_0} = \left( 1 + 15.5 \frac{x - x_0}{x_0} \right)^{-0.8} \quad [T^\circ K] \quad (3)$$

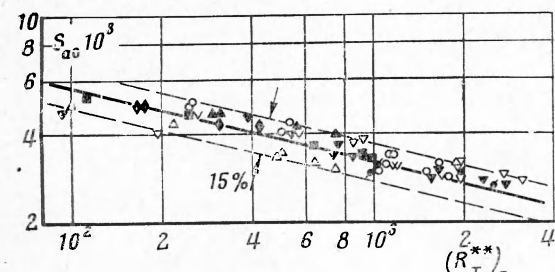
Здесь  $x_0$  — длина нагреваемого участка,  $T_w'$  — температура в конце нагреваемого участка. Затем подводилось тепло на вторую ступень и замерялась температура стенки  $T_w$  в завесной зоне. Данные опытов со ступенчатым подводом тепла обрабатывались двумя способами.

1. Число Стантона в завесной зоне определялось по разности температур стенки и невозмущенного потока ( $T_w - T_0$ ). Из сопоставления экспериментальных точек с кривой на фиг. 1 видно, что в удовлетворительном соответствии с кривой находятся только те опыты, в которых отношение тепловых потоков  $q_{w_1}/q_{w_2} < 1$ , или между ступенями имеется адиабатический участок. В таких опытах вследствие малого теплового потока на первой ступени и наличия адиабатического участка перед второй ступенью равновесная температура стенки  $T_w^*$  близка к температуре невозмущенного потока  $T_0$ . В тех опытах, в которых начальный тепловой поток превышает последующий, экспериментальные точки отклоняются от кривой. С увеличением отношения  $q_{w_1}/q_{w_2}$  это отклонение растет. Максимальное расхождение точек с кривой (до 2.5 раз) наблюдается в опытах с наибольшим отношением тепловых потоков ( $q_{w_1}/q_{w_2} \sim 6.7$ ).

Таким образом, из этого графика видно, что закон теплообмена в форме уравнения (2) не может быть использован для случая ступенчатого подвода тепла, если коэффициент теплообмена вычисляется по разности ( $T_w - T_0$ ).

2. Коэффициент теплоотдачи вычислялся по разности действительной и равновесной температур стенки. При этом

$$S_a = \frac{q_w}{\gamma_0 W_0 c_{p_0} (T_w - T_w^*)} \quad (4)$$



Фиг. 2

В такой обработке опытные данные по теплообмену в завесной зоне при ступенчатом подводе тепла приведены на фиг. 2, на которой обозначения те же, что и на фиг. 1. Здесь  $S_a$  — экспериментальное значение числа Стантона, приведенное к стандартным условиям

$$S_a = \frac{S_a}{\Psi_t} \varphi(x, x_0) \quad (5)$$

Здесь

$$\Psi_t = \left( \frac{2}{V\Psi^* + 1} \right)^2, \quad \Psi^* = \frac{T_w}{T_{w^*}}, \quad \Phi(x, x_0) = \left( \frac{x}{x - x_0} \right)^{0.114}$$

$\Psi_t$  учитывает влияние неизотермичности на теплообмен [3],  $\Phi(x, x_0)$  учитывает влияние предвключенного участка на теплообмен [3,4],  $x_0$  — предвключенный участок второй ступени. Число Рейнольдса определялось также по разности действительной и равновесной температур стенки

$$(R_T^{**})_a = \frac{1}{gC_{p_0}\mu(T_w - T_{w^*})} \int_{x_0}^x q_w dx \quad (6)$$

Как видно из графика, экспериментальные данные удовлетворительно согласуются с расчетом по формуле (2). Разброс опытных точек  $\pm 15\%$ . Формула (2) будет справедливой и при ступенчатом подводе тепла, если коэффициент теплоотдачи считается по разности  $(T_w - T_{w^*})$ .

При проведении опытов со ступенчатым подводом тепла измерялся также профиль температур в пограничном слое в зависящей зоне. Измерения производились при скорости течения воздуха  $W_0 = 21 \text{ м/сек}$  и отношении тепловых потоков, при котором наблюдается максимальное отклонение опытных точек по теплообмену от расчета (фиг. 1). Такой режим был повторен дважды в разное время. На фиг. 3 эти опыты разделены (темные и светлые знаки). При этом экспериментальные точки 2 (6000, 20.9) и 3 (3300, 39.4) соответствуют постоянным тепловым потокам  $q_w \text{ ккал}/\text{м}^2\text{час}$  (первые значения в скобках) и скоростям течения  $W_0 \text{ м/сек}$  (вторые значения в скобках), точки 4, 5, 6, 7 соответствуют значениям  $\Delta x = 0.036, 0.083, 0.204, 0.278 \text{ м}$  при  $q_{w_1}/q_{w_2} \sim 6$  и  $W_0 = 21 \text{ м/сек}$ ; расстояние измеряемого сечения  $\Delta x$  отсчитывалось от начала второй ступени. На фиг. 3 показан безразмерный профиль температур, построенный двумя способами; на фиг. 3, А безразмерный профиль построен таким образом, что избыточная температура в пограничном слое была отнесена к разности температур стенки и невозмущенного потока. При этом толщина потери энергии в безразмерном комплексе  $Y = y / \delta_T^{**}$  определялась как

$$\delta_T^{**} = \int_0^\delta \frac{\rho W}{\rho_0 W_0} \left( \frac{T - T_0}{T_w - T_{w^*}} \right) dy \quad (7)$$

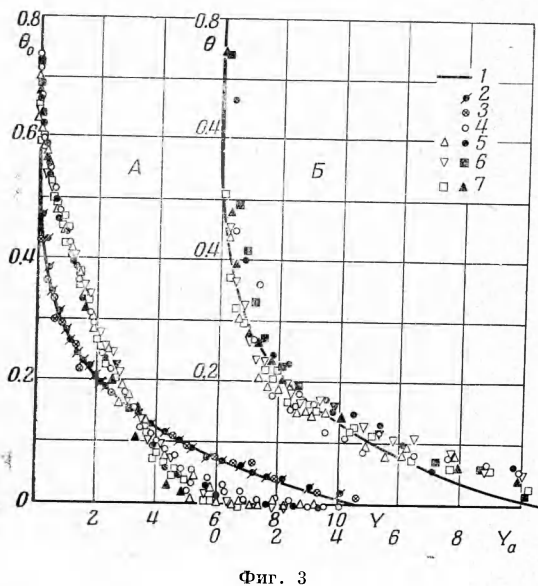
На фиг. 3 приведено распределение температуры в пограничном слое по закону степени  $1/7$ , в виде кривой

$$\Theta = \frac{T - T_0}{T_w - T_0} = 1 - 0.715 Y^{1/7}, \quad Y = y / \delta_T^{**}$$

Наблюдается существенное несоответствие опытных результатов с этой кривой. Сюда же нанесены опыты при  $T_w = \text{const}$ , которые удовлетворительно согласуются с расчетным профилем. На фиг. 3, Б те же самые опытные данные ступенчатого подвода тепла обрабатывались так, что избыточная температура относилась к разности действительной и равновесной температур стенки. В этом случае толщина потери энергии в безразмерном комплексе  $Y_a = y / (\delta_T^{**})_a$  определялась как

$$(\delta_T^{**})_a = \int_0^\delta \frac{\rho W}{\rho_0 W_0} \left( \frac{T - T^*}{T_w - T_{w^*}} \right) dy \quad (8)$$

где  $T^*$  — температура в рассматриваемой точке пограничного слоя при отсутствии теплового потока на стенке.



Фиг. 3

Как видно из графика, опытные точки удовлетворительно согласуются с кривой распределения температуры в пограничном слое по закону степени  $1/7$ .

Автор благодарит А. И. Леонтьева, Э. П. Волчкова и Е. Г. Зауличного за руководство и помощь в работе.

Поступила 24 II 1969

#### ЛИТЕРАТУРА

1. Лойцянский Л. Г. Механика жидкости и газа. М., Гостехиздат, 1957.
2. Клаузер Ф. Турбулентный пограничный слой. В сб.: «Проблемы механики», М., Изд-во иностр. лит., 1959.
3. Кутателадзе С. С., Леонтьев А. И. Турбулентный пограничный слой сжимаемого газа. Новосибирск. Изд-во СО АН СССР, 1962.
4. Волчков Э. П., Левченко В. Я. Тепловой турбулентный пограничный слой на плоской пластине с теплоизолированным участком. Инж.-физ. ж., 1965, № 6.
5. Эккерт Э. Р., Дрейк Р. М. Теория тепло-и массообмена. М.—Л., Госэнергоиздат, 1961.
6. Термомассообмен и трение в турбулентном пограничном слое. Новосибирск, Изд-во СО АН СССР, 1964.

#### ЧИСЛЕННЫЙ АНАЛИЗ УСТОЙЧИВОСТИ ПЛОСКОГО ТЕЧЕНИЯ ПУАЗЕЙЛЯ

*В. А. Сапожников, В. Н. Штерн*

(Новосибирск)

Исследование устойчивости плоско-параллельных течений вязкой несжимаемой жидкости с помощью уравнения Орра — Зоммерфельда в последнее время находит все большее применение как для построения нейтральных кривых и нахождения критических чисел Рейнольдса [1], так и для первых попыток теоретического предсказания турбулентных профилей осредненной скорости [2].

Математическая задача сводится к отысканию собственных значений для уравнения

$$\varphi^{IV} - 2\alpha^2\varphi'' + \alpha^4\varphi = i\alpha R [(u - c)(\varphi'' - \alpha^2\varphi) - u''\varphi] \quad (1)$$

с однородными граничными условиями для функции  $\varphi$ . Здесь  $u = u(y)$  — профиль скорости исследуемого на устойчивость течения;  $\varphi = \varphi(y)$  — комплексная амплитуда функции тока возмущенного движения, имеющей вид  $\varphi(y) \exp[i\alpha(x - ct)]$ ;  $\alpha$  — волновое число;  $R$  — число Рейнольдса;  $c$  — искомое собственное значение. При  $\operatorname{Im} c > 0$  имеет место экспоненциальный рост возмущений (неустойчивость), при  $\operatorname{Im} c < 0$  — затухание.

До сих пор все численные методы позволяли проводить расчеты собственных чисел уравнения (1) только для сравнительно небольших значений  $\alpha R$  — не более  $10^4$ — $10^5$ .

В работе [3] предложен способ вычисления собственных значений, который позволяет практически снять ограничения на величину  $\alpha R$  и получить собственные значения с заданной точностью.

Целью данной работы является: 1) показать эффективность метода [3] на примере исследования устойчивости течения Пуазейля в плоском канале, где есть широкая возможность сравнения с результатами других авторов; 2) сопоставить результаты численных и асимптотических методов в широком диапазоне значений  $\alpha R$ ; 3) заполнить некоторый пробел в исследовании устойчивости плоского течения Пуазейля — выявить зависимость собственного значения от волнового числа  $\alpha$ . Последний анализ, имеющий самостоятельную ценность, может быть использован при изучении нелинейной устойчивости течения Пуазейля.

Для расчета собственных значений использовался алгоритм [3], но несколько модифицированный. Интегрирование системы уравнений проводилось методом Рунге — Кутта с автоматическим выбором шага и фиксированной относительной точностью. Результаты, относящиеся к нейтральной кривой, получены с пятью верными значениями цифрами, остальные результаты не менее чем с тремя.

Все результаты в дальнейшем представлены в безразмерных параметрах, построенных по средней (расходной) скорости, полуширине канала и молекулярной вязкости. Собственное значение представляется в виде:  $c = X + iY$ .